

# Übung zur Algorithmik kontinuierlicher Systeme

## Übung 6 – Bézierkurven und Interpolation

---

Sommersemester 2021

Florian Frank

Friedrich-Alexander-Universität Erlangen-Nürnberg



FRIEDRICH-ALEXANDER  
UNIVERSITÄT  
ERLANGEN-NÜRNBERG

TECHNISCHE FAKULTÄT

Werbung: Gather.Town

Wo stehen wir?

*Rekapitulation* – Globale Interpolation

Aufgabe 1 – Polynominterpolation (I)

*Rekapitulation* – Lokale Interpolation

Aufgabe 1 – Polynominterpolation (II)

*Rekapitulation* – Freiformmodellierung mit Bézierkurven

*Rekapitulation* – Multivariate Interpolation

Hausaufgabe – Baryzentrische Koordinaten und Bézierkurven

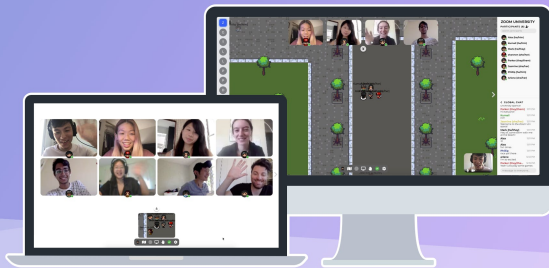
## Werbung: Gather.Town

---



## Gather

Video chat in fully customizable and 2D  
interactive spaces



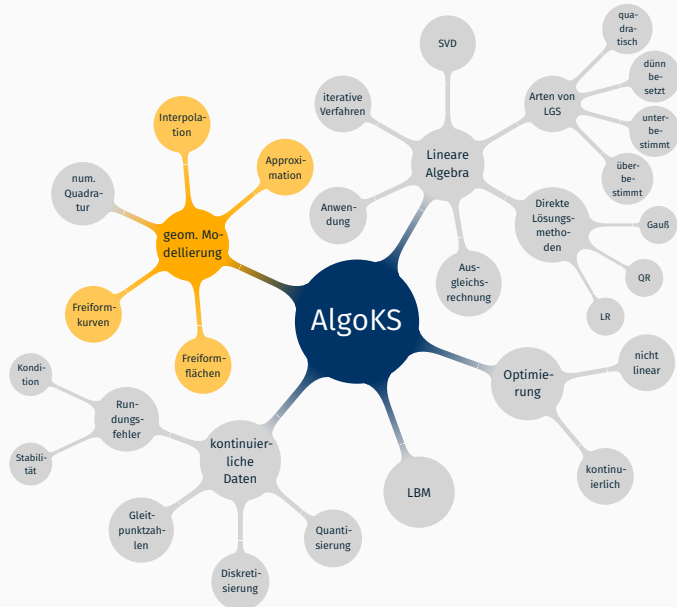


- Wir haben für euch einen eigenen Raum auf `gather.town` angelegt. Joint und diskutiert mit anderen AlgoKS-Studierenden über die Aufgaben oder die Vorlesungen :)
- Dazu ist nichts weiter notwendig als ein aktueller Internet-Browser und der folgende Link:  
<https://gather.town/app/ssOyWsnPjAXesbZ4/AlgoKS>



**Wo stehen wir?**

---

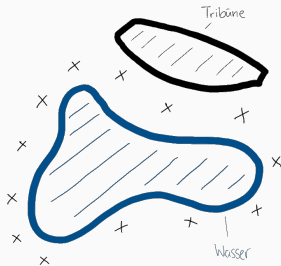


## ***Rekapitulation* – Globale Interpolation**

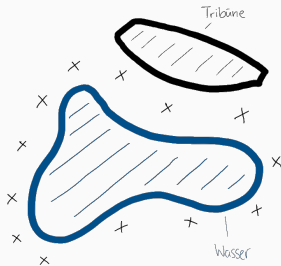
---



Rudi, ein Verwandter von Speedy Gonzales, möchte eine Rennstrecke um einen See erstellen. Er gibt einige Punkte vor (in der Skizze durch Kreuze markiert), durch die die Strecke verlaufen soll. Gleichzeitig möchte er aber einen möglichst glatten Streckenverlauf ohne Spitzen.



Rudi, ein Verwandter von Speedy Gonzales, möchte eine Rennstrecke um einen See erstellen. Er gibt einige Punkte vor (in der Skizze durch Kreuze markiert), durch die die Strecke verlaufen soll. Gleichzeitig möchte er aber einen möglichst glatten Streckenverlauf ohne Spitzen.



## Ziel

Bestimme eine „glatte“ Funktion  $\Phi : \mathbb{R} \rightarrow \mathbb{R}^2$ , welche durch die Stützstellen verläuft.

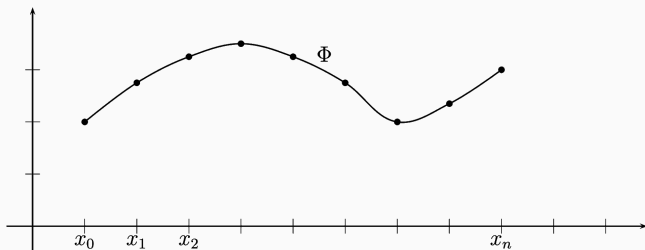
## Problemstellung

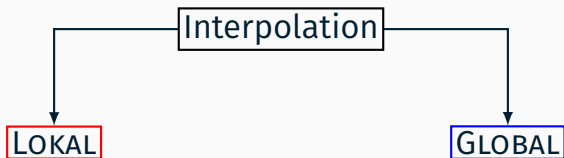
Seien  $n + 1$  Punkte  $(x_i, y_i) \in \mathbb{R} \times \mathbb{R}$  gegeben, dann ist eine Funktion

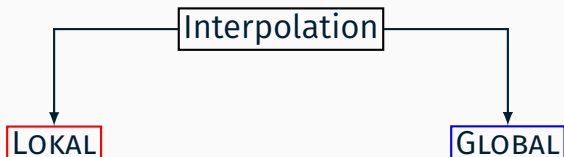
$$\Phi : \mathbb{R} \rightarrow \mathbb{R} \quad \text{mit} \quad \Phi(x_i) = y_i$$

einer bestimmten „Bauart“ gesucht.

Diese Bauart wird durch die Angabe eines Funktionenraums  $V_n$  vorgegeben, man fordert dann zusätzlich noch  $\Phi \in V_n$ .



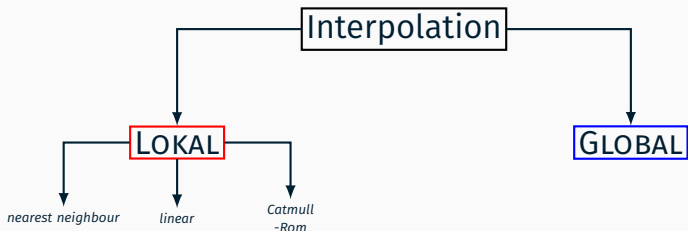




## Definition 6.1

Ein Interpolationsverfahren heißt ...

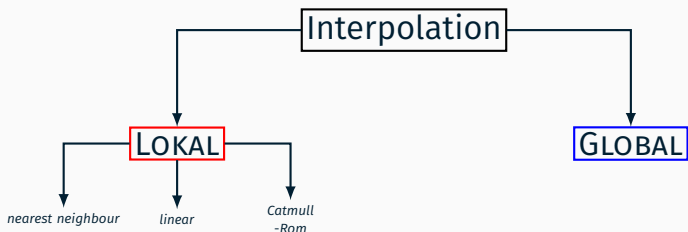
... **lokal**, wenn der interpolierte Wert nur von **benachbarten Werten** abhängt.



## Definition 6.1

Ein Interpolationsverfahren heißt ...

... **lokal**, wenn der interpolierte Wert nur von **benachbarten Werten** abhängt.

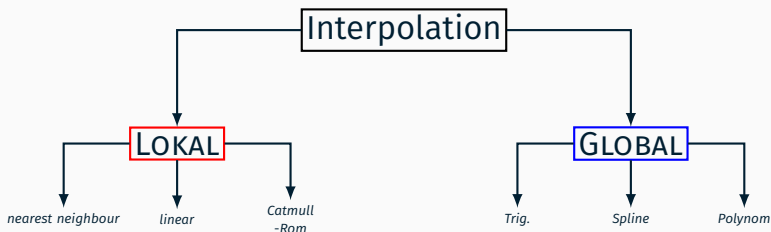


## Definition 6.1

Ein Interpolationsverfahren heißt ...

... **lokal**, wenn der interpolierte Wert nur von **benachbarten Werten** abhängt.

... **global**, wenn die Interpolationsfunktion von **allen** Stützstellen abhängt.



## Definition 6.1

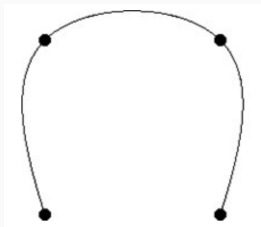
Ein Interpolationsverfahren heißt ...

... **lokal**, wenn der interpolierte Wert nur von **benachbarten Werten** abhängt.

... **global**, wenn die Interpolationsfunktion von **allen** Stützstellen abhängt.

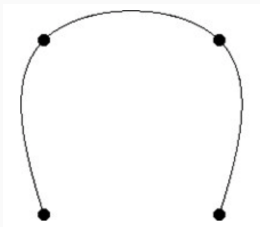


## Interpolation



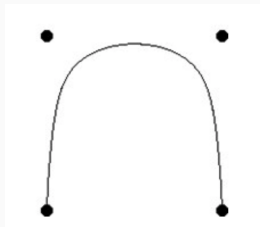
Die Kurve **muss** durch jeden Kontrollpunkt gehen.

## Interpolation



Die Kurve **muss** durch jeden Kontrollpunkt gehen.

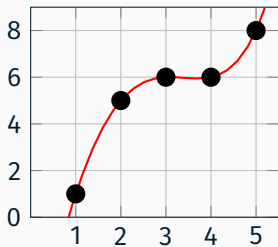
## Approximation



Die Kurve wird von den Kontrollpunkten **beeinflusst!**

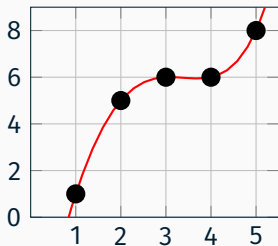


## Interpolation



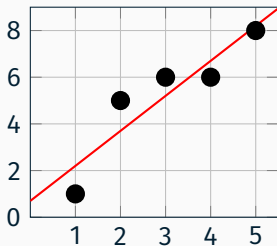
Die Kurve **muss** durch jeden Kontrollpunkt gehen.

## Interpolation



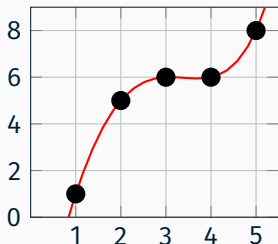
Die Kurve **muss** durch jeden Kontrollpunkt gehen.

## Approximation

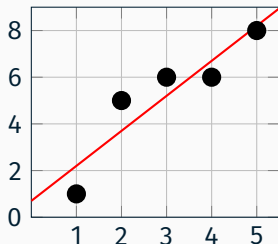


Die Kurve wird von den Kontrollpunkten **beeinflusst!**

## Interpolation



## Approximation



Die Kurve **muss** durch jeden Kontrollpunkt gehen.

Die Kurve wird von den Kontrollpunkten **beeinflusst!**

### Daumenregel

**Interpolation** ist bei **exakten, korrekten** Daten sinnvoll, man möchte diese als solche auch behandeln. Kam es allerdings zu Messfehlern, oder sind die Daten nur *Approximationen*, so ist eine *Approximation* sinnvoller

Wir betrachten die Monombasis

$$\mathbb{P}_n = \text{span} \left\{ x^i \mid 0 \leq i \leq n \right\}$$

des Polynomraums  $\mathbb{P}_n$  aller reellen Polynome vom Grad  $\leq n$ .

Wir betrachten die Monombasis

$$\mathbb{P}_n = \text{span} \left\{ x^i \mid 0 \leq i \leq n \right\}$$

des Polynomraums  $\mathbb{P}_n$  aller reellen Polynome vom Grad  $\leq n$ . Die Koeffizienten der Interpolationsfunktion für  $n + 1$  Stützstellen sind die Lösung des linearen Gleichungssystems

$$\underbrace{\begin{pmatrix} 1 & x_1 & \cdots & x_1^n \\ \vdots & \vdots & \ddots & \vdots \\ 1 & x_{n+1} & \cdots & x_{n+1}^n \end{pmatrix}}_{\text{Vandermondematrix } V} \cdot \underbrace{\begin{pmatrix} c_1 \\ \vdots \\ c_{n+1} \end{pmatrix}}_{=: c} = \underbrace{\begin{pmatrix} y_1 \\ \vdots \\ y_{n+1} \end{pmatrix}}_{=: y}.$$

Gegeben die Monombasis

$$\mathbb{P}_n = \text{span} \left\{ x^i \mid 0 \leq i \leq n \right\},$$

so lösen wir das LGS

$$V \cdot c = y. \tag{1}$$

## Singularität

Sind alle  $n + 1$  Stützstellen paarweise verschieden, so ist die Vandermonde-matrix  $V$  nicht singulär. (Interpolationstheorem aus der Mathematik oder Determinantenformel)



Gegeben die Monombasis

$$\mathbb{P}_n = \text{span} \left\{ x^i \mid 0 \leq i \leq n \right\},$$

so lösen wir das LGS

$$V \cdot c = y. \tag{1}$$

## Problem

Dennoch ist die Matrix voll besetzt und schlecht konditioniert, so ist für  $n = 20$  bei äquidistanten Stützstellen die Kondition bereits bei  $\kappa_\infty \approx 11000$ .

Gegeben die Monombasis

$$\mathbb{P}_n = \text{span} \left\{ x^i \mid 0 \leq i \leq n \right\},$$

so lösen wir das LGS

$$V \cdot c = y. \tag{1}$$

## Singularität

Sind alle  $n + 1$  Stützstellen paarweise verschieden, so ist die Vandermonde-Matrix  $V$  nicht singulär. (Interpolationstheorem aus der Mathematik oder Determinantenformel)

## Problem

Dennoch ist die Matrix voll besetzt und schlecht konditioniert, so ist für  $n = 20$  bei äquidistanten Stützstellen die Kondition bereits bei  $\kappa_\infty \approx 11000$ .

**Satz 6.2 (Determinatenformel für die Vandermondematrix)**

Sei mit

$$V_n = \begin{pmatrix} 1 & x_1 & \cdots & x_1^{n-1} \\ \vdots & \vdots & \ddots & \vdots \\ 1 & x_n & \cdots & x_n^{n-1} \end{pmatrix} \in \mathbb{R}^{n \times n}$$

die  $n$ -dimensionale Vandermondematrix bezeichnet, so berechnet sich deren Determinante durch

$$\det(V_n) = \prod_{1 \leq i < j \leq n} (x_j - x_i).$$

## Ziel der Lagrangebasis

Wähle Basisfunktionen  $\varphi_i$ , für die die Matrix in Gleichung (1) gut konditioniert ist.

## Ziel der Lagrangebasis

Wähle Basisfunktionen  $\varphi_i$ , für die die Matrix in Gleichung (1) gut konditioniert ist. Eine Möglichkeit ist es  $V = \mathbb{1}_n$  zu wählen.

## Ziel der Lagrangebasis

Wähle Basisfunktionen  $\varphi_i$ , für die die Matrix in Gleichung (1) gut konditioniert ist. Eine Möglichkeit ist es  $V = \mathbb{1}_n$  zu wählen.

Es ergeben sich Basisfunktionen für alle  $i, j = 1, \dots, n + 1$  mit

$$\varphi_i(x_j) = \delta_{ji} = \begin{cases} 1 & , \text{ falls } i = j \\ 0 & \text{sonst.} \end{cases} \quad (2)$$

## Definition 6.3 (Lagrangebasis)

Eine Basis des Raumes  $\mathbb{P}_n$ , welche die Bedingung (2) erfüllt, ist die **Lagrangebasis**:

$$\varphi_j(x) = L_j(x) := \frac{\prod_{i=1, i \neq j}^{n+1} (x - x_i)}{\prod_{i=1, i \neq j}^{n+1} (x_j - x_i)} \quad \text{für } j = 1, \dots, n+1$$

## Satz 6.4 (Koeffizienten der Lagrangebasis)

Die Koeffizienten des Interpolationspolynoms sind genau die Stützwerte, es gilt also für das Interpolationspolynom:

$$p_L(x) = \sum_{i=1}^{n+1} c_i \cdot L_i(x) = \sum_{i=1}^{n+1} y_i \cdot L_i(x).$$

Lagrangebasis:

$$\varphi_j(x) = L_j(x) := \frac{\prod_{i=1, i \neq j}^{n+1} (x - x_i)}{\prod_{i=1, i \neq j}^{n+1} (x_j - x_i)} \quad \text{für } j = 1, \dots, n + 1$$

### Probleme

Jede Evaluation des Interpolationspolynoms benötigt  $\mathcal{O}(n^2)$  Operationen, dies kann aber zu  $\mathcal{O}(n)$  abgeschwächt werden.

Bei Hinzufügen eines neuen Punktes  $(x_{n+2}, y_{n+2})$  muss **alles** neu berechnet werden, da **jedes**  $L_j$  von *allen* Stützpunkten abhängt.



## Definition 6.5 (Newtonbasis)

Eine Basis des Raumes  $\mathbb{P}_n$ , welche den zweiten Nachteil von Lagrange behebt, ist die **Newtonbasis**:

$$\varphi_j(x) = N_j(x) := \prod_{i=1}^{j-1} (x - x_i)$$

## Definition 6.5 (Newtonbasis)

Eine Basis des Raumes  $\mathbb{P}_n$ , welche den zweiten Nachteil von Lagrange behebt, ist die **Newtonbasis**:

$$\varphi_j(x) = N_j(x) := \prod_{i=1}^{j-1} (x - x_i)$$

Wir stellen fest, dass  $N_j$  nur von den ersten  $j - 1$  Stützstellen abhängt. Die Koeffizienten ergeben sich dann als Lösung des linearen Gleichungssystems

$$\begin{pmatrix} 1 & 0 & \cdots & 0 \\ 1 & (x_2 - x_1) & \ddots & \vdots \\ \vdots & \vdots & \ddots & 0 \\ 1 & (x_{n+1} - x_1) & \cdots & \prod_{i=1}^{n+1} (x_{n+1} - x_i) \end{pmatrix} \cdot \begin{pmatrix} c_1 \\ \vdots \\ c_{n+1} \end{pmatrix} = \begin{pmatrix} y_1 \\ \vdots \\ y_{n+1} \end{pmatrix}.$$

Eine Möglichkeit das Gleichungssystem von Newton zu lösen ist der Algorithmus von Aitken-Neville:

## Algorithmus 6.1 – Algorithmus von Aitken-Neville

**Eingabe** : Stützstellen  $x_i$ , Stützwerte  $y_i$  mit  $1 \leq i \leq n$ .

**Ausgabe** : Koeffizienten  $a_i$  mit  $1 \leq i \leq n$ .

// Komplexität von  $\mathcal{O}(n^2)$

- (1)  $P \leftarrow (p_{ik})_{\substack{1 \leq i \leq n-k \\ 0 \leq k \leq n-1}}$
- (2)  $p_{1:n,0} \leftarrow y_{1:n}$ .
- (3) **for**  $k \leftarrow 1$  **to**  $n$  **do**
- (4)     **for**  $i \leftarrow 1$  **to**  $n - k$  **do**
- (5)          $p_{i,k} \leftarrow \frac{p_{i+1,k-1} - p_{i,k-1}}{x_{i+k} - x_i}$
- (6)     **end for**
- (7) **end for**
- (8)  $a \leftarrow p_1$

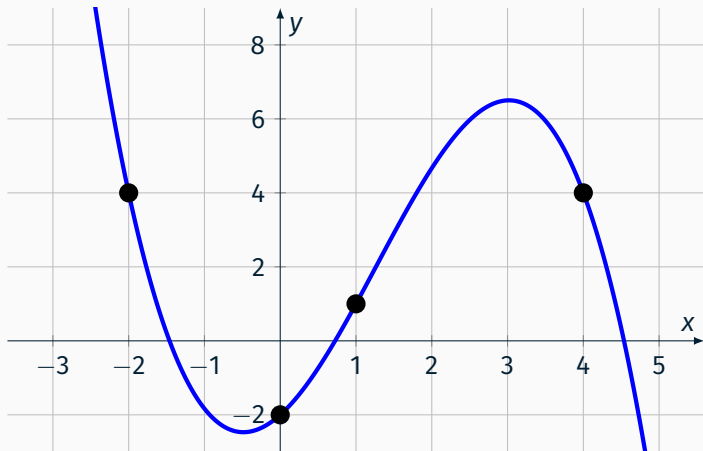
# Aufgabe 1 – Polynominterpolation (I)

---

- a) Gegeben sind die Stützstellen  $x_1 = -2, x_2 = 0, x_3 = 1, x_4 = 4$ .  
Bestimmen Sie die Lagrange- und Newton-Polynombasen zu diesen Stützstellen.

- a) Gegeben sind die Stützstellen  $x_1 = -2, x_2 = 0, x_3 = 1, x_4 = 4$ .  
Bestimmen Sie die Lagrange- und Newton-Polynombasen zu diesen Stützstellen.
- b) An diesen Stützstellen sind die Werte  $\{4, -2, 1, 4\}$  gegeben.  
Bestimmen Sie die Koeffizienten des Interpolationspolynoms bzgl. der Lagrange- und Newton-Basis.

- a) Gegeben sind die Stützstellen  $x_1 = -2, x_2 = 0, x_3 = 1, x_4 = 4$ .  
Bestimmen Sie die Lagrange- und Newton-Polynombasen zu diesen Stützstellen.
- b) An diesen Stützstellen sind die Werte  $\{4, -2, 1, 4\}$  gegeben.  
Bestimmen Sie die Koeffizienten des Interpolationspolynoms bzgl. der Lagrange- und Newton-Basis.
- c) Bestimmen Sie den Wert der Polynome mit den Werten aus Teilaufgabe b an der Stelle  $x = 0$ .

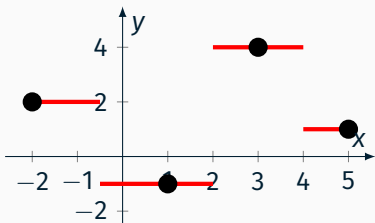




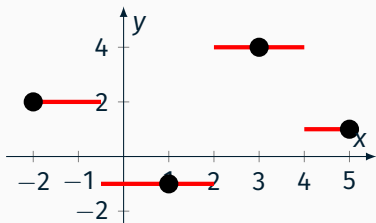
## ***Rekapitulation* — Lokale Interpolation**

---

Um den Wert an der Stelle  $x$  anzunähern, suche den nächsten Nachbarn, sprich die nächst gelegene Stützstelle  $x_j$ . Der interpolierte Wert ist dann mit  $y_j$  gegeben.



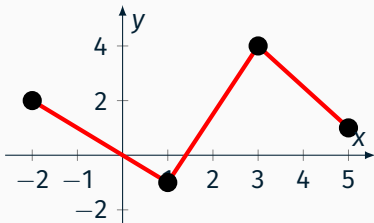
Um den Wert an der Stelle  $x$  anzunähern, suche den nächsten Nachbarn, sprich die nächst gelegene Stützstelle  $x_j$ . Der interpolierte Wert ist dann mit  $y_j$  gegeben.



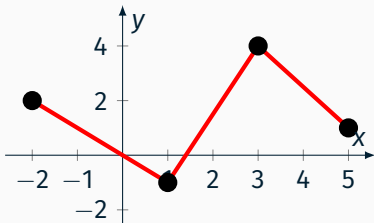
Für das Polynom gilt dann:

$$p(x) = \begin{cases} y_1 & \text{für } x_1 \leq x \leq \frac{1}{2}(x_1 + x_2) \\ y_i & \text{für } \frac{1}{2}(x_{i-1} + x_i) < x \leq \frac{1}{2}(x_i + x_{i+1}) \quad \text{für alle } 2 \leq i \leq n-1 \\ y_n & \text{für } \frac{1}{2}(x_{n-1} + x_n) < x \leq x_n \end{cases}$$

Um den Wert an der Stelle  $x$  hierbei anzunähern, suchen wir zuerst die *nächst gelegene* linke und rechte Stützstelle  $x_i$  und  $x_{i+1}$ , so dass  $x_i \leq x \leq x_{i+1}$  gilt, und interpolieren dann im Intervall  $[x_i, x_{i+1}]$  linear.



Um den Wert an der Stelle  $x$  hierbei anzunähern, suchen wir zuerst die *nächst gelegene* linke und rechte Stützstelle  $x_i$  und  $x_{i+1}$ , so dass  $x_i \leq x \leq x_{i+1}$  gilt, und interpolieren dann im Intervall  $[x_i, x_{i+1}]$  linear.

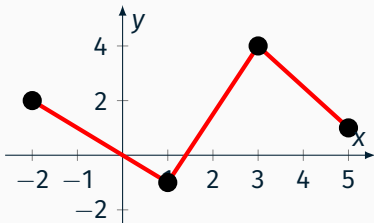


Für  $1 \leq i < n$  stelle die Polynome

$$p_i(x) = m_i \cdot (x - x_i) + y_i = \underbrace{\frac{y_{i+1} - y_i}{x_{i+1} - x_i}}_{=: m_i} \cdot (x - x_i) + y_i$$

auf.

Um den Wert an der Stelle  $x$  hierbei anzunähern, suchen wir zuerst die *nächst gelegene* linke und rechte Stützstelle  $x_i$  und  $x_{i+1}$ , so dass  $x_i \leq x \leq x_{i+1}$  gilt, und interpolieren dann im Intervall  $[x_i, x_{i+1}]$  linear.



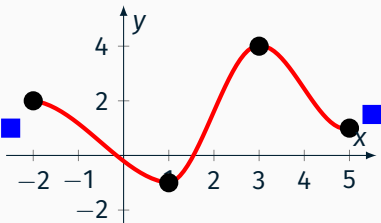
Dann gilt insgesamt:

$$p(x) = \left( \sum_{i=1}^{n-2} p_i(x) \cdot \mathbb{1}_{[x_i, x_{i+1})}(x) \right) + p_n(x) \cdot \mathbb{1}_{[x_{n-1}, x_n]}(x).$$

Wir finden dann auf jedem Teilintervall  $T_i := [x_i, x_{i+1}]$  das (*eindeutige*) kubische Polynom, welches in den Endpunkten neben den Stützwerten auch noch die geschätzten Ableitungen interpoliert. Ableitungen werden durch

$$y'_i = \frac{y_{i+1} - y_{i-1}}{x_{i+1} - x_{i-1}}$$

abgeschätzt.



Man kann die kubischen Polynome auch explizit bestimmen durch die Funktionen

$$p_i(x) = a_0 \cdot (x_{i+1} - x)^3 + a_1 \cdot (x_{i+1} - x)^2 \cdot (x - x_i) + a_2 \cdot (x_{i+1} - x) \cdot (x - x_i)^2 + a_3 \cdot (x - x_i)^3,$$

wobei sich die Koeffizienten durch

$$a_0 = \frac{y_i}{(x_{i+1} - x_i)^3}, \quad a_1 = 3 \cdot a_0 + \frac{y'_i}{(x_{i+1} - x_i)^2},$$

$$a_2 = 3 \cdot a_3 - \frac{y'_{i+1}}{(x_{i+1} - x_i)^2} \quad \text{und} \quad a_3 = \frac{y_{i+1}}{(x_{i+1} - x_i)^3}$$

bestimmen lassen.



Sei  $h$  gegeben durch

$$h = \max_{1 \leq i \leq n} \{x_{i+1} - x_i\}.$$

Dann kann man zeigen:

Verfahrensname	obere Fehlerschranke	„Fehlerkomplexität“
Konstante Interpolation ( <i>nearest neighbor</i> )	$\leq \frac{ f'(\xi) }{2 \cdot h}$	$\in \mathcal{O}(h)$
Lineare Interpolation	$\leq \frac{ f''(\xi) }{8 \cdot h^2}$	$\in \mathcal{O}(h^2)$
Kubische Interpolation ( <i>catmull rom</i> )	$\leq \frac{ f'''(\xi) }{24 \cdot h^3}$	$\in \mathcal{O}(h^3)$

# **Aufgabe 1 – Polynominterpolation (II)**

---

- d) Nun sind an den Stützstellen  $\{-3, -1, 1, 3\}$  die Werte  $\{-1, 1, 2, 2\}$  gegeben. Skizzieren Sie das mittlere Segment des Catmull-Rom-Interpolanten.

***Rekapitulation* —  
Freiformmodellierung mit  
Bézierkurven**

---

## Definition 6.6 (Bernsteinpolynombasen)

Die **Bernsteinpolynome**  $B_i^n$  sind Polynome mit

$$B_i^n(x) := \binom{n}{i} \cdot (1-x)^{n-i} \cdot x^i$$

für  $0 \leq i \leq n$ . Sie spannen ebenfalls den Polynomraum  $\mathbb{P}_n$  auf.

## Definition 6.6 (Bernsteinpolynombasen)

Die **Bernsteinpolynome**  $B_i^n$  sind Polynome mit

$$B_i^n(x) := \binom{n}{i} \cdot (1-x)^{n-i} \cdot x^i$$

für  $0 \leq i \leq n$ . Sie spannen ebenfalls den Polynomraum  $\mathbb{P}_n$  auf.

## Satz 6.7 (Eigenschaften der Bernsteinpolynome)

- Für  $t \in [0, 1]$  gilt, dass  $0 \leq B_i^n(t) \leq 1$

## Definition 6.6 (Bernsteinpolynombasen)

Die **Bernsteinpolynome**  $B_i^n$  sind Polynome mit

$$B_i^n(x) := \binom{n}{i} \cdot (1-x)^{n-i} \cdot x^i$$

für  $0 \leq i \leq n$ . Sie spannen ebenfalls den Polynomraum  $\mathbb{P}_n$  auf.

## Satz 6.7 (Eigenschaften der Bernsteinpolynome)

- Für  $t \in [0, 1]$  gilt, dass  $0 \leq B_i^n(t) \leq 1$
- $B_i^n(t)$  hat eine  $i$ -fache Nullstelle in  $t = 0$  und  $(n - i)$ -fache in  $t = 1$ .

## Definition 6.6 (Bernsteinpolynombasen)

Die **Bernsteinpolynome**  $B_i^n$  sind Polynome mit

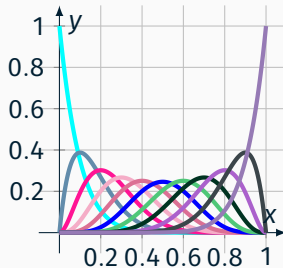
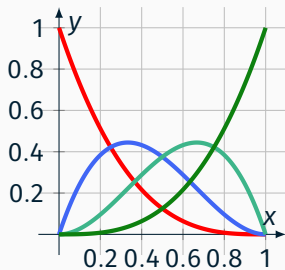
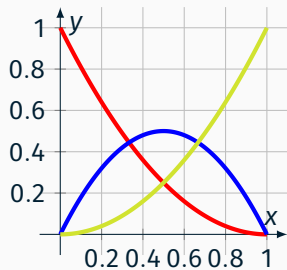
$$B_i^n(x) := \binom{n}{i} \cdot (1-x)^{n-i} \cdot x^i$$

für  $0 \leq i \leq n$ . Sie spannen ebenfalls den Polynomraum  $\mathbb{P}_n$  auf.

## Satz 6.7 (Eigenschaften der Bernsteinpolynome)

- Für  $t \in [0, 1]$  gilt, dass  $0 \leq B_i^n(t) \leq 1$
- $B_i^n(t)$  hat eine  $i$ -fache Nullstelle in  $t = 0$  und  $(n - i)$ -fache in  $t = 1$ .
- Für alle  $t$  gilt, dass  $\sum_{i=0}^n B_i^n(t) = 1$





## Ziel

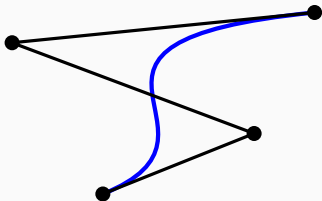
*Kleine* Änderungen an **einzelnen** Stützwerten, sollen nur *geringe lokale* Auswirkungen haben.

## Definition 6.8 (Bézierkurve)

Gegeben eine Menge an Kontrollpunkten  $b_i \in \mathbb{R}^d$  mit  $0 \leq i \leq n$ , nennen wir die Kurve  $C \subseteq \mathbb{R}^d$  Bézierkurve vom Grad  $n$ , wenn

$$C(t) = \sum_{i=0}^n b_i \cdot B_i^n(t) \quad \text{mit } t \in [0, 1].$$

Der Polygonzug aus den Kontrollpunkten bezeichnet man als das zur Bézierkurve gehörende **Kontrollpolygon**.



(1) **Interpolation der Endpunkte** Es muss gelten, dass

$$C(0) = b_0 \quad \text{und} \quad C(1) = b_n.$$

- (2) **Tangentiale Tangentenbedingung** In den Endpunkten nähert sich die Kurve tangential an das Kontrollpolygon an, es gilt also

$$C'(0) = n(b_1 - b_0) \quad \text{und} \quad C'(1) = n(b_n - b_{n-1})$$

- (3) **Konvexe Hülle** Die Bézierkurve liegt in der **konvexen Hülle** der Kontrollpunkte. Die **konvexe Hülle** einer Menge  $M$  ist die kleinste Obermenge  $M'$  von  $M$ , welche ebenfalls konvex ist.

- (4) **Affine Invarianz** Eine affine Abbildung ist mit  $\Phi(x) = Ax + b$  gegeben, um eine Bézierkurve affin zu transformieren müssen **bloß die Kontrollpunkte affin transformiert** werden.

- (5) **Variationsreduzierend** Für jede Gerade  $g$  gilt, dass die Anzahl an Schnittpunkten von  $g$  mit der Kurve kleiner oder gleich der Anzahl an Schnittpunkten von  $g$  mit dem Kontrollpolygon ist.



- (1) **Interpolation der Endpunkte** Es muss gelten, dass

$$C(0) = b_0 \quad \text{und} \quad C(1) = b_n.$$

- (2) **Tangentiale Tangentenbedingung** In den Endpunkten nähert sich die Kurve tangential an das Kontrollpolygon an, es gilt also

$$C'(0) = n(b_1 - b_0) \quad \text{und} \quad C'(1) = n(b_n - b_{n-1})$$

- (3) **Konvexe Hülle** Die Bézierkurve liegt in der **konvexen Hülle** der Kontrollpunkte. Die **konvexe Hülle** einer Menge  $M$  ist die kleinste Obermenge  $M'$  von  $M$ , welche ebenfalls konvex ist.
- (4) **Affine Invarianz** Eine affine Abbildung ist mit  $\Phi(x) = Ax + b$  gegeben, um eine Bézierkurve affin zu transformieren müssen **bloß die Kontrollpunkte affin transformiert** werden.
- (5) **Variationsreduzierend** Für jede Gerade  $g$  gilt, dass die Anzahl an Schnittpunkten von  $g$  mit der Kurve kleiner oder gleich der Anzahl an Schnittpunkten von  $g$  mit dem Kontrollpolygon ist.

## Algorithmus 6.2 — Auswertungsalgorithmus nach DE CASTELJAU

**Eingabe** : Kontrollpunkte  $b_i$  mit  $0 \leq i \leq n$  und Stelle  $t \in [0, 1]$ .

**Ausgabe** : Wert  $C(t)$

- (1)  $\mathfrak{B} \leftarrow (b_{ik})_{\substack{0 \leq i \leq n \\ 0 \leq k \leq n}}$
- (2)  $b_{0:n}^0 \leftarrow b_{0:n}$
- (3) **for**  $k \leftarrow 1$  **to**  $n$  **do**
- (4)     **for**  $i \leftarrow k$  **to**  $n$  **do**
- (5)          $b_i^k \leftarrow (1 - t) \cdot b_{i-1}^{k-1} + t \cdot b_i^{k-1}$
- (6)     **end for**
- (7) **end for**
- (8) **return**  $b_n^n$

Sei eine kubische Bézier-Kurve mit den Kontrollpunkten

$$b_0 = \begin{pmatrix} 0 \\ 9 \end{pmatrix} \quad b_1 = \begin{pmatrix} 0 \\ 0 \end{pmatrix} \quad b_2 = \begin{pmatrix} 9 \\ 0 \end{pmatrix} \quad \text{und} \quad b_3 = \begin{pmatrix} 12 \\ 6 \end{pmatrix}$$

gegeben. Werten Sie die Kurve an  $t = 1/3$  aus.

Rechnerische Lösung:

$$\begin{pmatrix} \phantom{0} \\ \phantom{0} \\ \phantom{0} \\ \phantom{0} \end{pmatrix} \quad \begin{pmatrix} \phantom{0} \\ \phantom{0} \\ \phantom{0} \\ \phantom{0} \end{pmatrix} \quad \begin{pmatrix} \phantom{0} \\ \phantom{0} \\ \phantom{0} \\ \phantom{0} \end{pmatrix} \quad \begin{pmatrix} \phantom{0} \\ \phantom{0} \\ \phantom{0} \\ \phantom{0} \end{pmatrix}$$

```

(1)  $\mathcal{B} \leftarrow (b_{ik})_{\substack{0 \leq i \leq n \\ 0 \leq k \leq n}}$ 
(2)  $b_{0:n}^0 \leftarrow b_{0:n}$ 
(3) for  $k \leftarrow 1$  to  $n$  do
(4)   for  $i \leftarrow k$  to  $n$  do
(5)      $b_i^k \leftarrow (1-t) \cdot b_{i-1}^{k-1} + t \cdot b_i^{k-1}$ 
(6)   end for
(7) end for
(8) return  $b_n^n$ 
    
```

Sei eine kubische Bézier-Kurve mit den Kontrollpunkten

$$b_0 = \begin{pmatrix} 0 \\ 9 \end{pmatrix} \quad b_1 = \begin{pmatrix} 0 \\ 0 \end{pmatrix} \quad b_2 = \begin{pmatrix} 9 \\ 0 \end{pmatrix} \quad \text{und} \quad b_3 = \begin{pmatrix} 12 \\ 6 \end{pmatrix}$$

gegeben. Werten Sie die Kurve an  $t = 1/3$  aus.

Rechnerische Lösung:

$$\begin{pmatrix} 0 \\ 9 \end{pmatrix} \quad \begin{pmatrix} 0 \\ 0 \end{pmatrix} \quad \begin{pmatrix} 9 \\ 0 \end{pmatrix} \quad \begin{pmatrix} 12 \\ 6 \end{pmatrix}$$

- ```

(1)  $\mathfrak{B} \leftarrow (b_{ik})_{\substack{0 \leq i \leq n \\ 0 \leq k \leq n}}$ 
(2)  $b_{0:n}^0 \leftarrow b_{0:n}$ 
(3) for  $k \leftarrow 1$  to  $n$  do
(4)   for  $i \leftarrow k$  to  $n$  do
(5)      $b_i^k \leftarrow (1-t) \cdot b_{i-1}^{k-1} + t \cdot b_i^{k-1}$ 
(6)   end for
(7) end for
(8) return  $b_n^n$ 
    
```

Sei eine kubische Bézier-Kurve mit den Kontrollpunkten

$$b_0 = \begin{pmatrix} 0 \\ 9 \end{pmatrix} \quad b_1 = \begin{pmatrix} 0 \\ 0 \end{pmatrix} \quad b_2 = \begin{pmatrix} 9 \\ 0 \end{pmatrix} \quad \text{und} \quad b_3 = \begin{pmatrix} 12 \\ 6 \end{pmatrix}$$

gegeben. Werten Sie die Kurve an  $t = 1/3$  aus.

Rechnerische Lösung:

$$\begin{pmatrix} 0 \\ 9 \end{pmatrix} \quad \begin{pmatrix} 0 \\ 0 \end{pmatrix} \quad \begin{pmatrix} 9 \\ 0 \end{pmatrix} \quad \begin{pmatrix} 12 \\ 6 \end{pmatrix}$$

```

(1)  $\mathfrak{B} \leftarrow (b_{ik})_{\substack{0 \leq i \leq n \\ 0 \leq k \leq n}}$ 
(2)  $b_{0:n}^0 \leftarrow b_{0:n}$ 
(3) for  $k \leftarrow 1$  to  $n$  do
(4)   for  $i \leftarrow k$  to  $n$  do
(5)      $b_i^k \leftarrow (1-t) \cdot b_{i-1}^{k-1} + t \cdot b_i^{k-1}$ 
(6)   end for
(7) end for
(8) return  $b_n^n$ 
    
```

Sei eine kubische Bézier-Kurve mit den Kontrollpunkten

$$b_0 = \begin{pmatrix} 0 \\ 9 \end{pmatrix} \quad b_1 = \begin{pmatrix} 0 \\ 0 \end{pmatrix} \quad b_2 = \begin{pmatrix} 9 \\ 0 \end{pmatrix} \quad \text{und} \quad b_3 = \begin{pmatrix} 12 \\ 6 \end{pmatrix}$$

gegeben. Werten Sie die Kurve an  $t = 1/3$  aus.

Rechnerische Lösung:

$$\begin{pmatrix} 0 \\ 9 \end{pmatrix} \quad \begin{pmatrix} 0 \\ 0 \end{pmatrix} \quad \begin{pmatrix} 9 \\ 0 \end{pmatrix} \quad \begin{pmatrix} 12 \\ 6 \end{pmatrix}$$

```

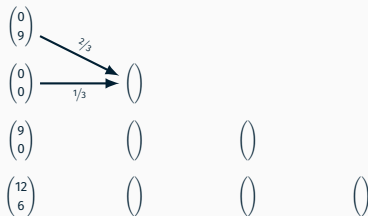
(1)  $\mathfrak{B} \leftarrow (b_{ik})_{\substack{0 \leq i \leq n \\ 0 \leq k \leq n}}$ 
(2)  $b_{0:n}^0 \leftarrow b_{0:n}$ 
(3) for  $k \leftarrow 1$  to  $n$  do //  $k = 1$ 
(4)   for  $i \leftarrow k$  to  $n$  do
(5)      $b_i^k \leftarrow (1-t) \cdot b_{i-1}^{k-1} + t \cdot b_i^{k-1}$ 
(6)   end for
(7) end for
(8) return  $b_n^n$ 
    
```

Sei eine kubische Bézier-Kurve mit den Kontrollpunkten

$$b_0 = \begin{pmatrix} 0 \\ 9 \end{pmatrix} \quad b_1 = \begin{pmatrix} 0 \\ 0 \end{pmatrix} \quad b_2 = \begin{pmatrix} 9 \\ 0 \end{pmatrix} \quad \text{und} \quad b_3 = \begin{pmatrix} 12 \\ 6 \end{pmatrix}$$

gegeben. Werten Sie die Kurve an  $t = 1/3$  aus.

Rechnerische Lösung:



```

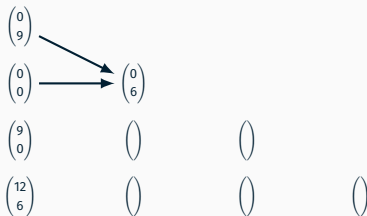
(1)  $\mathfrak{B} \leftarrow (b_{ik})_{\substack{0 \leq i \leq n \\ 0 \leq k \leq n}}$ 
(2)  $b_{0,n}^0 \leftarrow b_{0,n}$ 
(3) for  $k \leftarrow 1$  to  $n$  do           //  $k = 1$ 
(4)   | for  $i \leftarrow k$  to  $n$  do   //  $i = 1$ 
(5)   |   |  $b_i^k \leftarrow (1-t) \cdot b_{i-1}^{k-1} + t \cdot b_i^{k-1}$ 
(6)   |   | end for
(7) end for
(8) return  $b_n^n$ 
    
```

Sei eine kubische Bézier-Kurve mit den Kontrollpunkten

$$b_0 = \begin{pmatrix} 0 \\ 9 \end{pmatrix} \quad b_1 = \begin{pmatrix} 0 \\ 0 \end{pmatrix} \quad b_2 = \begin{pmatrix} 9 \\ 0 \end{pmatrix} \quad \text{und} \quad b_3 = \begin{pmatrix} 12 \\ 6 \end{pmatrix}$$

gegeben. Werten Sie die Kurve an  $t = 1/3$  aus.

Rechnerische Lösung:



```

(1)  $\mathfrak{B} \leftarrow (b_{ik})_{\substack{0 \leq i \leq n \\ 0 \leq k \leq n}}$ 
(2)  $b_{0:n}^0 \leftarrow b_{0:n}$ 
(3) for  $k \leftarrow 1$  to  $n$  do //  $k = 1$ 
(4)   for  $i \leftarrow k$  to  $n$  do
(5)      $b_i^k \leftarrow (1-t) \cdot b_{i-1}^{k-1} + t \cdot b_i^{k-1}$ 
(6)   end for
(7) end for
(8) return  $b_n^n$ 
    
```

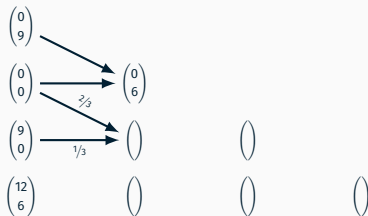


Sei eine kubische Bézier-Kurve mit den Kontrollpunkten

$$b_0 = \begin{pmatrix} 0 \\ 9 \end{pmatrix} \quad b_1 = \begin{pmatrix} 0 \\ 0 \end{pmatrix} \quad b_2 = \begin{pmatrix} 9 \\ 0 \end{pmatrix} \quad \text{und} \quad b_3 = \begin{pmatrix} 12 \\ 6 \end{pmatrix}$$

gegeben. Werten Sie die Kurve an  $t = 1/3$  aus.

Rechnerische Lösung:



```

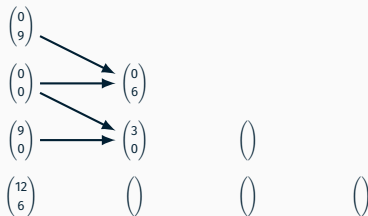
(1)  $\mathfrak{B} \leftarrow (b_{ik})_{\substack{0 \leq i \leq n \\ 0 \leq k \leq n}}$ 
(2)  $b_{0:n}^0 \leftarrow b_{0:n}$ 
(3) for  $k \leftarrow 1$  to  $n$  do           //  $k = 1$ 
(4)   | for  $i \leftarrow k$  to  $n$  do   //  $i = 2$ 
(5)   |   |  $b_i^k \leftarrow (1-t) \cdot b_{i-1}^{k-1} + t \cdot b_i^{k-1}$ 
(6)   |   end for
(7) end for
(8) return  $b_n^n$ 
    
```

Sei eine kubische Bézier-Kurve mit den Kontrollpunkten

$$b_0 = \begin{pmatrix} 0 \\ 9 \end{pmatrix} \quad b_1 = \begin{pmatrix} 0 \\ 0 \end{pmatrix} \quad b_2 = \begin{pmatrix} 9 \\ 0 \end{pmatrix} \quad \text{und} \quad b_3 = \begin{pmatrix} 12 \\ 6 \end{pmatrix}$$

gegeben. Werten Sie die Kurve an  $t = 1/3$  aus.

Rechnerische Lösung:



```

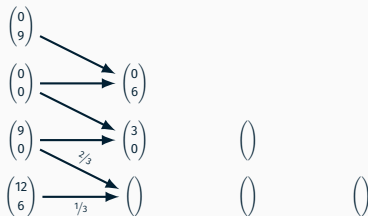
(1)  $\mathfrak{B} \leftarrow (b_{ik})_{\substack{0 \leq i \leq n \\ 0 \leq k \leq n}}$ 
(2)  $b_{0:n}^0 \leftarrow b_{0:n}$ 
(3) for  $k \leftarrow 1$  to  $n$  do //  $k = 1$ 
(4)   for  $i \leftarrow k$  to  $n$  do
(5)      $b_i^k \leftarrow (1-t) \cdot b_{i-1}^{k-1} + t \cdot b_i^{k-1}$ 
(6)   end for
(7) end for
(8) return  $b_n^n$ 
    
```

Sei eine kubische Bézier-Kurve mit den Kontrollpunkten

$$b_0 = \begin{pmatrix} 0 \\ 9 \end{pmatrix} \quad b_1 = \begin{pmatrix} 0 \\ 0 \end{pmatrix} \quad b_2 = \begin{pmatrix} 9 \\ 0 \end{pmatrix} \quad \text{und} \quad b_3 = \begin{pmatrix} 12 \\ 6 \end{pmatrix}$$

gegeben. Werten Sie die Kurve an  $t = 1/3$  aus.

Rechnerische Lösung:



```

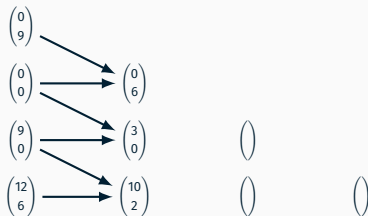
(1)  $\mathfrak{B} \leftarrow (b_{ik})_{\substack{0 \leq i \leq n \\ 0 \leq k \leq n}}$ 
(2)  $b_{0:n}^0 \leftarrow b_{0:n}$ 
(3) for  $k \leftarrow 1$  to  $n$  do           //  $k = 1$ 
(4)   | for  $i \leftarrow k$  to  $n$  do     //  $i = 3$ 
(5)   |   |  $b_i^k \leftarrow (1-t) \cdot b_{i-1}^{k-1} + t \cdot b_i^{k-1}$ 
(6)   |   | end for
(7)   | end for
(8) return  $b_n^n$ 
    
```

Sei eine kubische Bézier-Kurve mit den Kontrollpunkten

$$b_0 = \begin{pmatrix} 0 \\ 9 \end{pmatrix} \quad b_1 = \begin{pmatrix} 0 \\ 0 \end{pmatrix} \quad b_2 = \begin{pmatrix} 9 \\ 0 \end{pmatrix} \quad \text{und} \quad b_3 = \begin{pmatrix} 12 \\ 6 \end{pmatrix}$$

gegeben. Werten Sie die Kurve an  $t = 1/3$  aus.

Rechnerische Lösung:



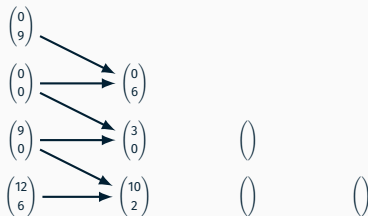
- (1)  $\mathfrak{B} \leftarrow (b_{ik})_{\substack{0 \leq i \leq n \\ 0 \leq k \leq n}}$
- (2)  $b_{0:n}^0 \leftarrow b_{0:n}$
- (3) **for**  $k \leftarrow 1$  **to**  $n$  **do**
- (4)     **for**  $i \leftarrow k$  **to**  $n$  **do**
- (5)          $b_i^k \leftarrow (1-t) \cdot b_{i-1}^{k-1} + t \cdot b_i^{k-1}$
- (6)     **end for**
- (7) **end for**
- (8) **return**  $b_n^n$

Sei eine kubische Bézier-Kurve mit den Kontrollpunkten

$$b_0 = \begin{pmatrix} 0 \\ 9 \end{pmatrix} \quad b_1 = \begin{pmatrix} 0 \\ 0 \end{pmatrix} \quad b_2 = \begin{pmatrix} 9 \\ 0 \end{pmatrix} \quad \text{und} \quad b_3 = \begin{pmatrix} 12 \\ 6 \end{pmatrix}$$

gegeben. Werten Sie die Kurve an  $t = 1/3$  aus.

Rechnerische Lösung:



```

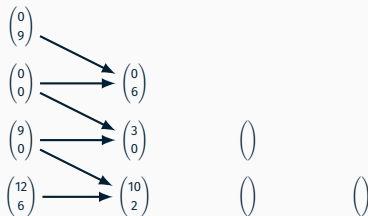
(1)  $\mathfrak{B} \leftarrow (b_{ik})_{\substack{0 \leq i \leq n \\ 0 \leq k \leq n}}$ 
(2)  $b_{0:n}^0 \leftarrow b_{0:n}$ 
(3) for  $k \leftarrow 1$  to  $n$  do //  $k = 2$ 
(4)   for  $i \leftarrow k$  to  $n$  do
(5)      $b_i^k \leftarrow (1-t) \cdot b_{i-1}^{k-1} + t \cdot b_i^{k-1}$ 
(6)   end for
(7) end for
(8) return  $b_n^n$ 
    
```

Sei eine kubische Bézier-Kurve mit den Kontrollpunkten

$$b_0 = \begin{pmatrix} 0 \\ 9 \end{pmatrix} \quad b_1 = \begin{pmatrix} 0 \\ 0 \end{pmatrix} \quad b_2 = \begin{pmatrix} 9 \\ 0 \end{pmatrix} \quad \text{und} \quad b_3 = \begin{pmatrix} 12 \\ 6 \end{pmatrix}$$

gegeben. Werten Sie die Kurve an  $t = 1/3$  aus.

Rechnerische Lösung:



```

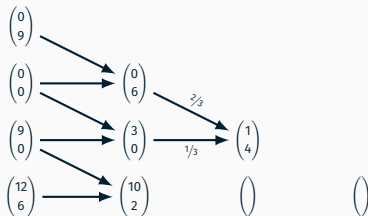
(1)  $\mathfrak{B} \leftarrow (b_{ik})_{\substack{0 \leq i \leq n \\ 0 \leq k \leq n}}$ 
(2)  $b_{0:n}^0 \leftarrow b_{0:n}$ 
(3) for  $k \leftarrow 1$  to  $n$  do //  $k = 2$ 
(4)   for  $i \leftarrow k$  to  $n$  do
(5)      $b_i^k \leftarrow (1-t) \cdot b_{i-1}^{k-1} + t \cdot b_i^{k-1}$ 
(6)   end for
(7) end for
(8) return  $b_n^n$ 
    
```

Sei eine kubische Bézier-Kurve mit den Kontrollpunkten

$$b_0 = \begin{pmatrix} 0 \\ 9 \end{pmatrix} \quad b_1 = \begin{pmatrix} 0 \\ 0 \end{pmatrix} \quad b_2 = \begin{pmatrix} 9 \\ 0 \end{pmatrix} \quad \text{und} \quad b_3 = \begin{pmatrix} 12 \\ 6 \end{pmatrix}$$

gegeben. Werten Sie die Kurve an  $t = 1/3$  aus.

Rechnerische Lösung:



```

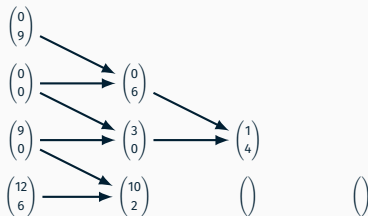
(1)  $\mathfrak{B} \leftarrow (b_{ik})_{\substack{0 \leq i \leq n \\ 0 \leq k \leq n}}$ 
(2)  $b_{0:n}^0 \leftarrow b_{0:n}$ 
(3) for  $k \leftarrow 1$  to  $n$  do           //  $k = 2$ 
(4)   | for  $i \leftarrow k$  to  $n$  do       //  $i = 2$ 
(5)   |   |  $b_i^k \leftarrow (1-t) \cdot b_{i-1}^{k-1} + t \cdot b_i^{k-1}$ 
(6)   |   end for
(7) end for
(8) return  $b_n^n$ 
    
```

Sei eine kubische Bézier-Kurve mit den Kontrollpunkten

$$b_0 = \begin{pmatrix} 0 \\ 9 \end{pmatrix} \quad b_1 = \begin{pmatrix} 0 \\ 0 \end{pmatrix} \quad b_2 = \begin{pmatrix} 9 \\ 0 \end{pmatrix} \quad \text{und} \quad b_3 = \begin{pmatrix} 12 \\ 6 \end{pmatrix}$$

gegeben. Werten Sie die Kurve an  $t = 1/3$  aus.

Rechnerische Lösung:



```

(1)  $\mathfrak{B} \leftarrow (b_{ik})_{\substack{0 \leq i \leq n \\ 0 \leq k \leq n}}$ 
(2)  $b_{0:n}^0 \leftarrow b_{0:n}$ 
(3) for  $k \leftarrow 1$  to  $n$  do //  $k = 2$ 
(4)   for  $i \leftarrow k$  to  $n$  do
(5)      $b_i^k \leftarrow (1-t) \cdot b_{i-1}^{k-1} + t \cdot b_i^{k-1}$ 
(6)   end for
(7) end for
(8) return  $b_n^n$ 
    
```

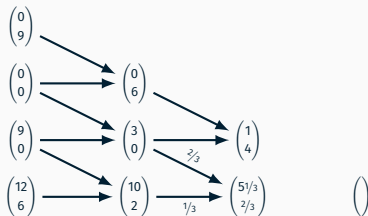


Sei eine kubische Bézier-Kurve mit den Kontrollpunkten

$$b_0 = \begin{pmatrix} 0 \\ 9 \end{pmatrix} \quad b_1 = \begin{pmatrix} 0 \\ 0 \end{pmatrix} \quad b_2 = \begin{pmatrix} 9 \\ 0 \end{pmatrix} \quad \text{und} \quad b_3 = \begin{pmatrix} 12 \\ 6 \end{pmatrix}$$

gegeben. Werten Sie die Kurve an  $t = 1/3$  aus.

Rechnerische Lösung:



```

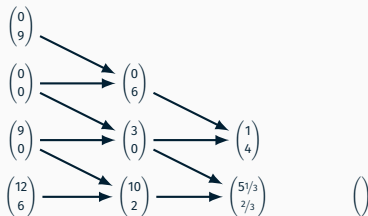
(1)  $\mathfrak{B} \leftarrow (b_{ik})_{\substack{0 \leq i \leq n \\ 0 \leq k \leq n}}$ 
(2)  $b_{0:n}^0 \leftarrow b_{0:n}$ 
(3) for  $k \leftarrow 1$  to  $n$  do           //  $k = 2$ 
(4)   | for  $i \leftarrow k$  to  $n$  do       //  $i = 3$ 
(5)   |   |  $b_i^k \leftarrow (1-t) \cdot b_{i-1}^{k-1} + t \cdot b_i^{k-1}$ 
(6)   |   | end for
(7)   | end for
(8) return  $b_n^n$ 
    
```

Sei eine kubische Bézier-Kurve mit den Kontrollpunkten

$$b_0 = \begin{pmatrix} 0 \\ 9 \end{pmatrix} \quad b_1 = \begin{pmatrix} 0 \\ 0 \end{pmatrix} \quad b_2 = \begin{pmatrix} 9 \\ 0 \end{pmatrix} \quad \text{und} \quad b_3 = \begin{pmatrix} 12 \\ 6 \end{pmatrix}$$

gegeben. Werten Sie die Kurve an  $t = 1/3$  aus.

Rechnerische Lösung:



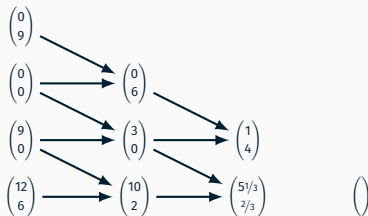
- (1)  $\mathfrak{B} \leftarrow (b_{ik})_{\substack{0 \leq i \leq n \\ 0 \leq k \leq n}}$
- (2)  $b_{0:n}^0 \leftarrow b_{0:n}$
- (3) **for**  $k \leftarrow 1$  **to**  $n$  **do**
- (4)     **for**  $i \leftarrow k$  **to**  $n$  **do**
- (5)          $b_i^k \leftarrow (1-t) \cdot b_{i-1}^{k-1} + t \cdot b_i^{k-1}$
- (6)     **end for**
- (7) **end for**
- (8) **return**  $b_n^n$

Sei eine kubische Bézier-Kurve mit den Kontrollpunkten

$$b_0 = \begin{pmatrix} 0 \\ 9 \end{pmatrix} \quad b_1 = \begin{pmatrix} 0 \\ 0 \end{pmatrix} \quad b_2 = \begin{pmatrix} 9 \\ 0 \end{pmatrix} \quad \text{und} \quad b_3 = \begin{pmatrix} 12 \\ 6 \end{pmatrix}$$

gegeben. Werten Sie die Kurve an  $t = 1/3$  aus.

Rechnerische Lösung:



- ```

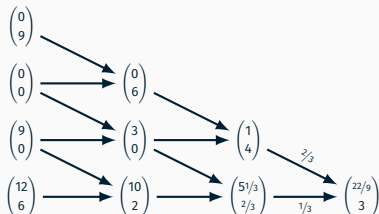
(1)  $\mathfrak{B} \leftarrow (b_{ik})_{\substack{0 \leq i \leq n \\ 0 \leq k \leq n}}$ 
(2)  $b_{0:n}^0 \leftarrow b_{0:n}$ 
(3) for  $k \leftarrow 1$  to  $n$  do //  $k = 3$ 
(4)   for  $i \leftarrow k$  to  $n$  do
(5)      $b_i^k \leftarrow (1-t) \cdot b_{i-1}^{k-1} + t \cdot b_i^{k-1}$ 
(6)   end for
(7) end for
(8) return  $b_n^n$ 
    
```

Sei eine kubische Bézier-Kurve mit den Kontrollpunkten

$$b_0 = \begin{pmatrix} 0 \\ 9 \end{pmatrix} \quad b_1 = \begin{pmatrix} 0 \\ 0 \end{pmatrix} \quad b_2 = \begin{pmatrix} 9 \\ 0 \end{pmatrix} \quad \text{und} \quad b_3 = \begin{pmatrix} 12 \\ 6 \end{pmatrix}$$

gegeben. Werten Sie die Kurve an  $t = 1/3$  aus.

Rechnerische Lösung:



```

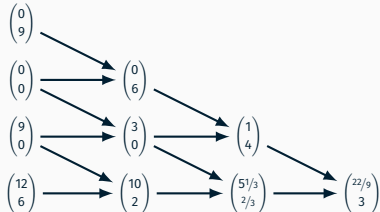
(1)  $\mathfrak{B} \leftarrow (b_{ik})_{\substack{0 \leq i \leq n \\ 0 \leq k \leq n}}$ 
(2)  $b_{0:n}^0 \leftarrow b_{0:n}$ 
(3) for  $k \leftarrow 1$  to  $n$  do           //  $k = 3$ 
(4)   | for  $i \leftarrow k$  to  $n$  do       //  $i = 3$ 
(5)   |   |  $b_i^k \leftarrow (1-t) \cdot b_{i-1}^{k-1} + t \cdot b_i^{k-1}$ 
(6)   |   end for
(7) end for
(8) return  $b_n^n$ 
    
```

Sei eine kubische Bézier-Kurve mit den Kontrollpunkten

$$b_0 = \begin{pmatrix} 0 \\ 9 \end{pmatrix} \quad b_1 = \begin{pmatrix} 0 \\ 0 \end{pmatrix} \quad b_2 = \begin{pmatrix} 9 \\ 0 \end{pmatrix} \quad \text{und} \quad b_3 = \begin{pmatrix} 12 \\ 6 \end{pmatrix}$$

gegeben. Werten Sie die Kurve an  $t = 1/3$  aus.

Rechnerische Lösung:



Damit ist  $C(1/3)$  durch  $(22/9, 3)^T$  gegeben.

```

(1)  $\mathfrak{B} \leftarrow (b_{ik})_{\substack{0 \leq i \leq n \\ 0 \leq k \leq n}}$ 
(2)  $b_{0:n}^0 \leftarrow b_{0:n}$ 
(3) for  $k \leftarrow 1$  to  $n$  do
(4)   for  $i \leftarrow k$  to  $n$  do
(5)      $b_i^k \leftarrow (1-t) \cdot b_{i-1}^{k-1} + t \cdot b_i^{k-1}$ 
(6)   end for
(7) end for
(8) return  $b_n^n$ 
    
```

Sei eine kubische Bézier-Kurve mit den Kontrollpunkten

$$b_0 = \begin{pmatrix} 0 \\ 9 \end{pmatrix} \quad b_1 = \begin{pmatrix} 0 \\ 0 \end{pmatrix} \quad b_2 = \begin{pmatrix} 9 \\ 0 \end{pmatrix} \quad \text{und} \quad b_3 = \begin{pmatrix} 11 \\ 7 \end{pmatrix}$$

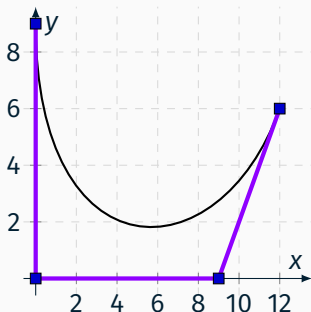
gegeben. Werten Sie die Kurve an  $t = 1/3$  aus.

Sei eine kubische Bézier-Kurve mit den Kontrollpunkten

$$b_0 = \begin{pmatrix} 0 \\ 9 \end{pmatrix} \quad b_1 = \begin{pmatrix} 0 \\ 0 \end{pmatrix} \quad b_2 = \begin{pmatrix} 9 \\ 0 \end{pmatrix} \quad \text{und} \quad b_3 = \begin{pmatrix} 11 \\ 7 \end{pmatrix}$$

gegeben. Werten Sie die Kurve an  $t = 1/3$  aus.

Graphische Lösung:

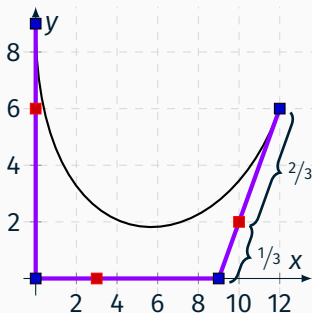


Sei eine kubische Bézier-Kurve mit den Kontrollpunkten

$$b_0 = \begin{pmatrix} 0 \\ 9 \end{pmatrix} \quad b_1 = \begin{pmatrix} 0 \\ 0 \end{pmatrix} \quad b_2 = \begin{pmatrix} 9 \\ 0 \end{pmatrix} \quad \text{und} \quad b_3 = \begin{pmatrix} 11 \\ 7 \end{pmatrix}$$

gegeben. Werten Sie die Kurve an  $t = 1/3$  aus.

Graphische Lösung:



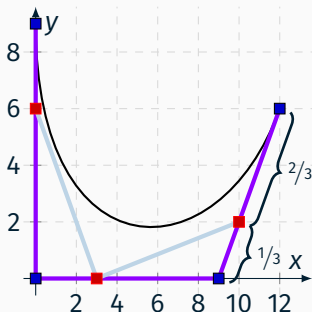


Sei eine kubische Bézier-Kurve mit den Kontrollpunkten

$$b_0 = \begin{pmatrix} 0 \\ 9 \end{pmatrix} \quad b_1 = \begin{pmatrix} 0 \\ 0 \end{pmatrix} \quad b_2 = \begin{pmatrix} 9 \\ 0 \end{pmatrix} \quad \text{und} \quad b_3 = \begin{pmatrix} 11 \\ 7 \end{pmatrix}$$

gegeben. Werten Sie die Kurve an  $t = 1/3$  aus.

Graphische Lösung:

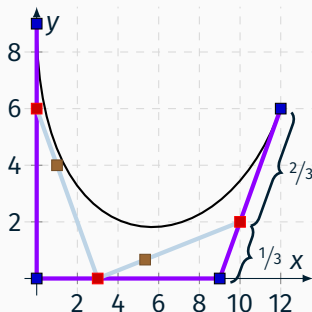


Sei eine kubische Bézier-Kurve mit den Kontrollpunkten

$$b_0 = \begin{pmatrix} 0 \\ 9 \end{pmatrix} \quad b_1 = \begin{pmatrix} 0 \\ 0 \end{pmatrix} \quad b_2 = \begin{pmatrix} 9 \\ 0 \end{pmatrix} \quad \text{und} \quad b_3 = \begin{pmatrix} 11 \\ 7 \end{pmatrix}$$

gegeben. Werten Sie die Kurve an  $t = 1/3$  aus.

Graphische Lösung:

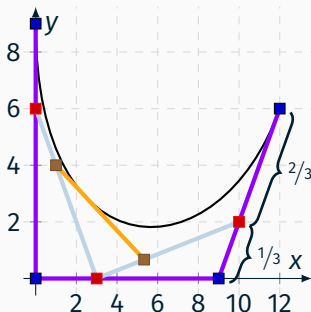


Sei eine kubische Bézier-Kurve mit den Kontrollpunkten

$$b_0 = \begin{pmatrix} 0 \\ 9 \end{pmatrix} \quad b_1 = \begin{pmatrix} 0 \\ 0 \end{pmatrix} \quad b_2 = \begin{pmatrix} 9 \\ 0 \end{pmatrix} \quad \text{und} \quad b_3 = \begin{pmatrix} 11 \\ 7 \end{pmatrix}$$

gegeben. Werten Sie die Kurve an  $t = 1/3$  aus.

Graphische Lösung:

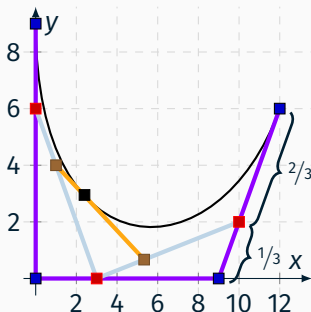


Sei eine kubische Bézier-Kurve mit den Kontrollpunkten

$$b_0 = \begin{pmatrix} 0 \\ 9 \end{pmatrix} \quad b_1 = \begin{pmatrix} 0 \\ 0 \end{pmatrix} \quad b_2 = \begin{pmatrix} 9 \\ 0 \end{pmatrix} \quad \text{und} \quad b_3 = \begin{pmatrix} 11 \\ 7 \end{pmatrix}$$

gegeben. Werten Sie die Kurve an  $t = 1/3$  aus.

Graphische Lösung:



## ***Rekapitulation* – Multivariate Interpolation**

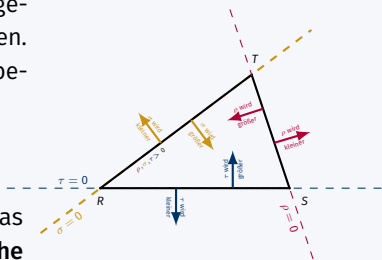
---

## Definition 6.9 (Baryzentrische Koordinaten)

Seien drei Punkte  $R, S, T$  in der Ebene gegeben, die **nicht** auf einer Geraden liegen. Dann lässt sich ein jeder Punkt  $P$  der Ebene *eindeutig* darstellen durch

$$P = \rho \cdot R + \sigma \cdot S + \tau \cdot T,$$

wobei  $\rho + \sigma + \tau = 1$  gelten muss. Das Tupel  $(\rho, \sigma, \tau)$  heißt dann **baryzentrische Koordinate** von  $P$  bezüglich  $\Delta(R, S, T)$ .



Die Koordinaten werden über das Lösen des Gleichungssystems

$$\begin{pmatrix} 1 & 1 & 1 \\ x_R & x_S & x_T \\ y_R & y_S & y_T \end{pmatrix} \cdot \begin{pmatrix} \rho \\ \sigma \\ \tau \end{pmatrix} = \begin{pmatrix} 1 \\ x_P \\ y_P \end{pmatrix}$$

mittels LR-Zerlegung.

Zudem gilt:

$$\rho = \frac{\text{area}(\Delta(P, S, T))}{\text{area}(\Delta(R, S, T))}, \quad \sigma = \frac{\text{area}(\Delta(R, P, T))}{\text{area}(\Delta(R, S, T))}$$

$$\text{und } \tau = \frac{\text{area}(\Delta(R, S, P))}{\text{area}(\Delta(R, S, T))}$$

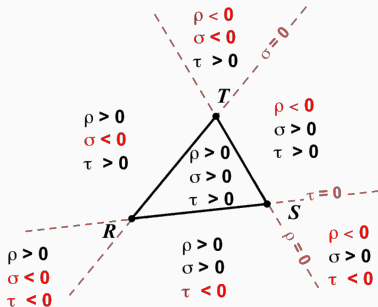
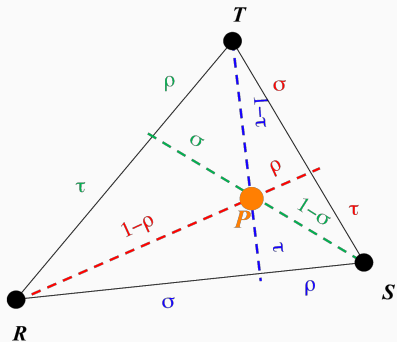
## Lineare Interpolation

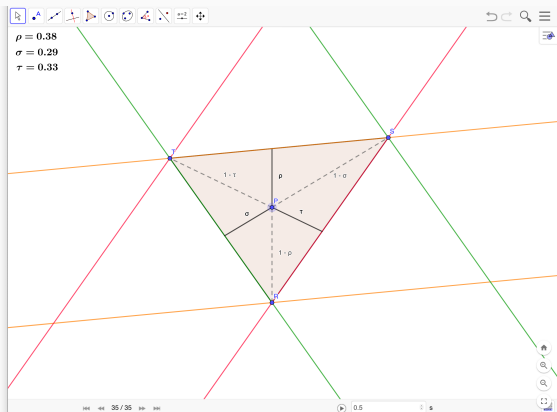
Seien nun in den Eckpunkten des Dreiecks  $\Delta(R, S, T)$  die Daten  $f_R, f_S$  und  $f_T$  gegeben, so erhält man den Wert des linearen Interpolanten an einer Stelle  $P \in \Delta(R, S, T)$  durch

$$f_P = \rho \cdot f_R + \sigma \cdot f_S + \tau \cdot f_T,$$

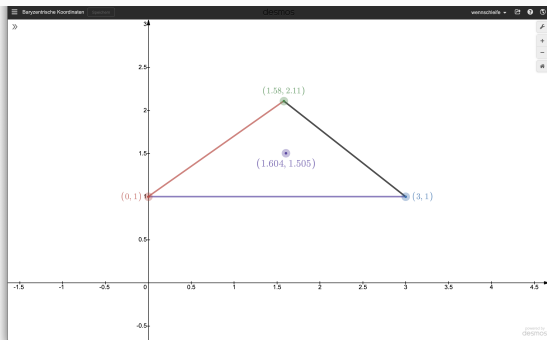
wobei  $\rho, \sigma, \tau$  die baryzentrischen Koordinaten von  $P$  bezüglich  $\Delta(R, S, T)$  sind.







**GeoGebra-Applet** für die Transformation  
Punkt  $\mapsto$  Baryzentrische Koordinaten  
(<https://www.geogebra.org/classic/rmxs2kwx>)



**Desmos-Applet** für die Transformation  
Baryzentrische Koordinaten  $\mapsto$  Punkt  
(<https://www.desmos.com/calculator/pofgxrysn9>)

# Hausaufgabe – Baryzentrische Koordinaten und Bézierkurven

---

Diese Hausaufgabe findet sich **komplett** auf StudOn!

## Zusätzliche Literatur

- [1] J. Bergh und J. Löfström. *Interpolation Spaces*. Springer Berlin Heidelberg, 1976. DOI: 10.1007/978-3-642-66451-9. URL: <https://doi.org/10.1007/978-3-642-66451-9>.
- [2] J.-P. Berrut und L. N. Trefethen. „Barycentric Lagrange Interpolation“. In: *SIAM Review* 46.3 (Jan. 2004), S. 501–517. DOI: 10.1137/s0036144502417715. URL: <https://doi.org/10.1137/s0036144502417715>.
- [3] A. Bjorck und V. Pereyra. „Solution of Vandermonde Systems of Equations“. In: *Mathematics of Computation* 24.112 (Okt. 1970), S. 893. DOI: 10.2307/2004623. URL: <https://doi.org/10.2307/2004623>.

- [4] S. D. Conte und C. de Boor. *Elementary Numerical Analysis*. Society for Industrial und Applied Mathematics, Dez. 2017. DOI: 10.1137/1.9781611975208. URL: <https://doi.org/10.1137/1.9781611975208>.
- [5] P. Davis. *Interpolation and Approximation*. Dover Books on Mathematics. Dover Publications, 1975. ISBN: 9780486624952. URL: <https://books.google.de/books?id=228PAQAAMAAJ>.
- [6] D. C. Fraser. „Newton's Interpolation Formulas“. In: *Journal of the Institute of Actuaries* 51.2 (Okt. 1918), S. 77–106. DOI: 10.1017/s0020268100028407. URL: <https://doi.org/10.1017/s0020268100028407>.
- [7] G. H. Golub und C. F. van Loan. *Matrix Computations*. Fourth. JHU Press, 2013. ISBN: 9781421407944. URL: <http://www.cs.cornell.edu/cv/GVL4/golubandvanloan.htm>.



- [8] M. Hecht, K. B. Hoffmann, B. L. Cheeseman und I. F. Sbalzarini. *Multivariate Newton Interpolation*. 2020. arXiv: 1812.04256 [math.NA].
- [9] R. A. Horn und C. R. Johnson. *Topics in Matrix Analysis*. Cambridge University Press, Apr. 1991. DOI: 10.1017/cbo9780511840371. URL: <https://doi.org/10.1017/cbo9780511840371>.
- [10] J. L. de Lagrange. „Leçons élémentaires sur les mathématiques données à l'École Normale en 1795“. In: *Œuvres VII* (1877), S. 183–287.
- [11] G. Mastroianni und G. V. Milovanović. *Interpolation Processes*. Springer Berlin Heidelberg, 2008. DOI: 10.1007/978-3-540-68349-0. URL: <https://doi.org/10.1007/978-3-540-68349-0>.

- [12] G. M. Phillips. *Interpolation and Approximation by Polynomials*. Springer New York, 2003. DOI: 10.1007/b97417. URL: <https://doi.org/10.1007/b97417>.
- [13] G. P. Serb und I. P. Serb. „Newton's Interpolation Applied in the Practice of Designing a Salient Synchronous Generator“. In: *2018 XIII International Conference on Electrical Machines (ICEM)*. IEEE, Sep. 2018. DOI: 10.1109/icelmach.2018.8507182. URL: <https://doi.org/10.1109/icelmach.2018.8507182>.
- [14] „VII. Problems concerning interpolations“. In: *Philosophical Transactions of the Royal Society of London* 69 (Dez. 1779), S. 59–67. DOI: 10.1098/rstl.1779.0008. URL: <https://doi.org/10.1098/rstl.1779.0008>.